

Eingabe: Farbmetrisches Drucker-Reflektiv-System FRS06

für Buntton  $h^* = lab^*h = 37/360 = 0.102$

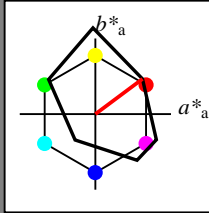
$lab^*ch$  und  $lab^*nch$

D65: Buntton O

LCH\*Ma: 33 78 37

olv\*Ma: 1.0 0.0 0.0

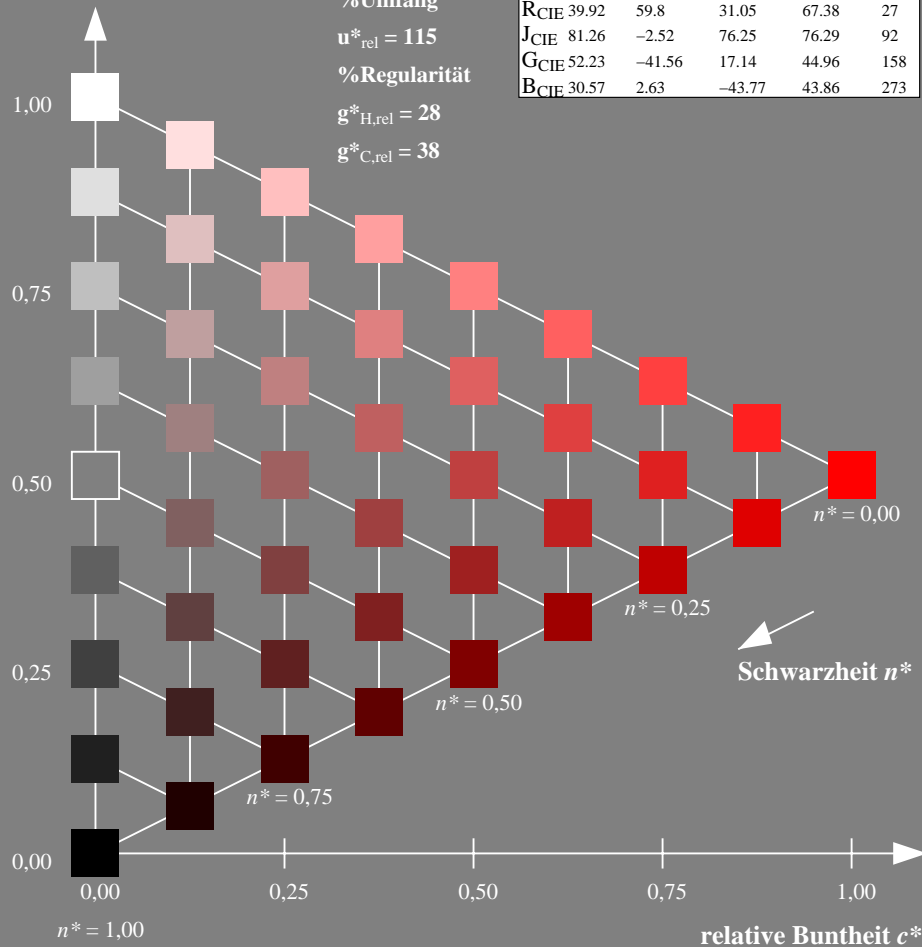
Dreiecks-Helligkeit  $t^*$



FRS06; adaptierte CIELAB-Daten

	$L^*=L^*_a$	$a^*_a$	$b^*_a$	$C^*_{ab,a}$	$h^*_{ab,a}$
O <sub>Ma</sub>	32.57	62.32	46.49	77.75	37
Y <sub>Ma</sub>	82.73	-3.16	113.99	114.03	92
L <sub>Ma</sub>	39.43	-61.79	45.84	76.95	143
C <sub>Ma</sub>	47.86	-26.79	-34.24	43.49	232
V <sub>Ma</sub>	10.16	55.12	-61.03	82.24	312
M <sub>Ma</sub>	34.5	80.68	-33.92	87.52	337
N <sub>Ma</sub>	6.25	0.0	0.0	0.0	0
W <sub>Ma</sub>	91.97	0.0	0.0	0.0	0
R <sub>CIE</sub>	39.92	59.8	31.05	67.38	27
J <sub>CIE</sub>	81.26	-2.52	76.25	76.29	92
G <sub>CIE</sub>	52.23	-41.56	17.14	44.96	158
B <sub>CIE</sub>	30.57	2.63	-43.77	43.86	273

%Umfang  
 $u^*_{rel} = 115$   
 %Regularität  
 $g^*_{H,rel} = 28$   
 $g^*_{C,rel} = 38$



XG670-7, 9stufige Reihen für konstanten CIELAB Buntton 37/360 = 0.102 (links)

Ausgabe: Farbmetrisches Drucker-Reflektiv-System FRS06

für Buntton  $h^* = lab^*h = 37/360 = 0.102$

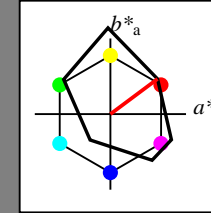
$lab^*ch$  und  $lab^*nch$

D65: Buntton O

LCH\*Ma: 33 78 37

olv\*Ma: 1.0 0.0 0.0

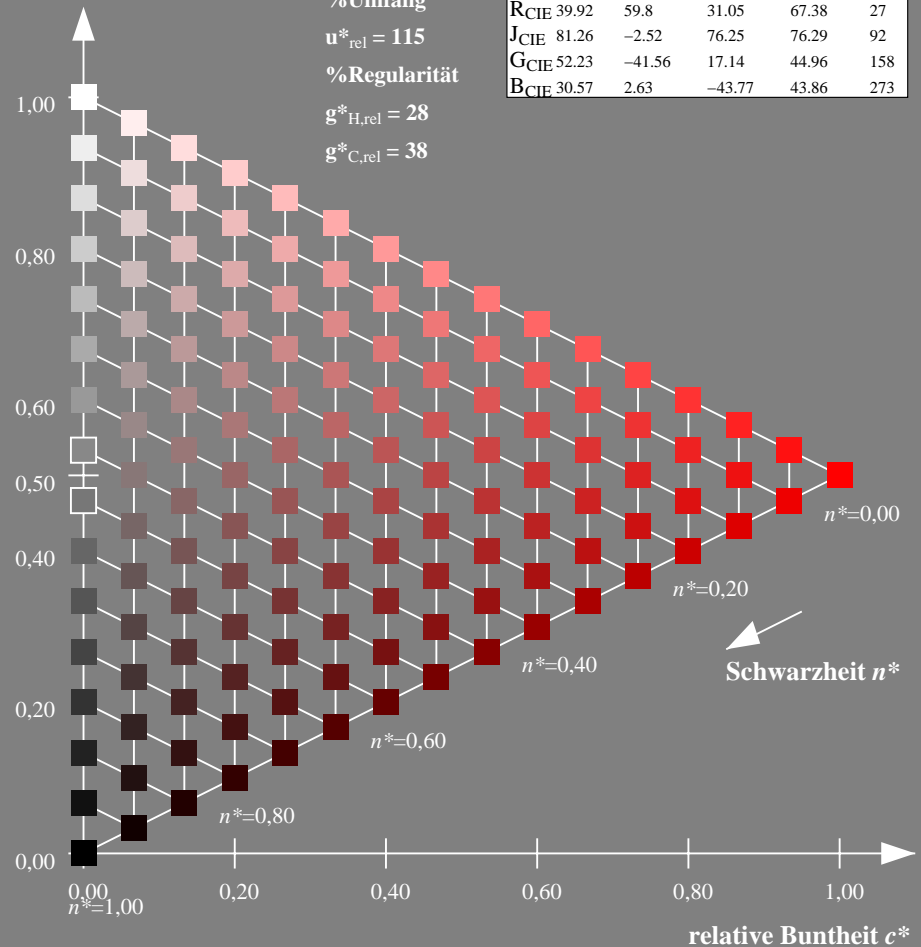
Dreiecks-Helligkeit  $t^*$



FRS06; adaptierte CIELAB-Daten

	$L^*=L^*_a$	$a^*_a$	$b^*_a$	$C^*_{ab,a}$	$h^*_{ab,a}$
O <sub>Ma</sub>	32.57	62.32	46.49	77.75	37
Y <sub>Ma</sub>	82.73	-3.16	113.99	114.03	92
L <sub>Ma</sub>	39.43	-61.79	45.84	76.95	143
C <sub>Ma</sub>	47.86	-26.79	-34.24	43.49	232
V <sub>Ma</sub>	10.16	55.12	-61.03	82.24	312
M <sub>Ma</sub>	34.5	80.68	-33.92	87.52	337
N <sub>Ma</sub>	6.25	0.0	0.0	0.0	0
W <sub>Ma</sub>	91.97	0.0	0.0	0.0	0
R <sub>CIE</sub>	39.92	59.8	31.05	67.38	27
J <sub>CIE</sub>	81.26	-2.52	76.25	76.29	92
G <sub>CIE</sub>	52.23	-41.56	17.14	44.96	158
B <sub>CIE</sub>	30.57	2.63	-43.77	43.86	273

%Umfang  
 $u^*_{rel} = 115$   
 %Regularität  
 $g^*_{H,rel} = 28$   
 $g^*_{C,rel} = 38$



16stufige Reihen für konstanten CIELAB Buntton 37/360 = 0.102 (rechts)

Eingabe: Farbmetrisches Drucker-Reflektiv-System FRS06

für Buntton  $h^* = lab^*h = 92/360 = 0.254$

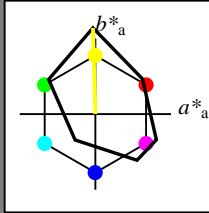
$lab^*ch$  und  $lab^*nch$

D65: Buntton Y

LCH\*Ma: 83 114 92

olv\*Ma: 1.0 1.0 0.0

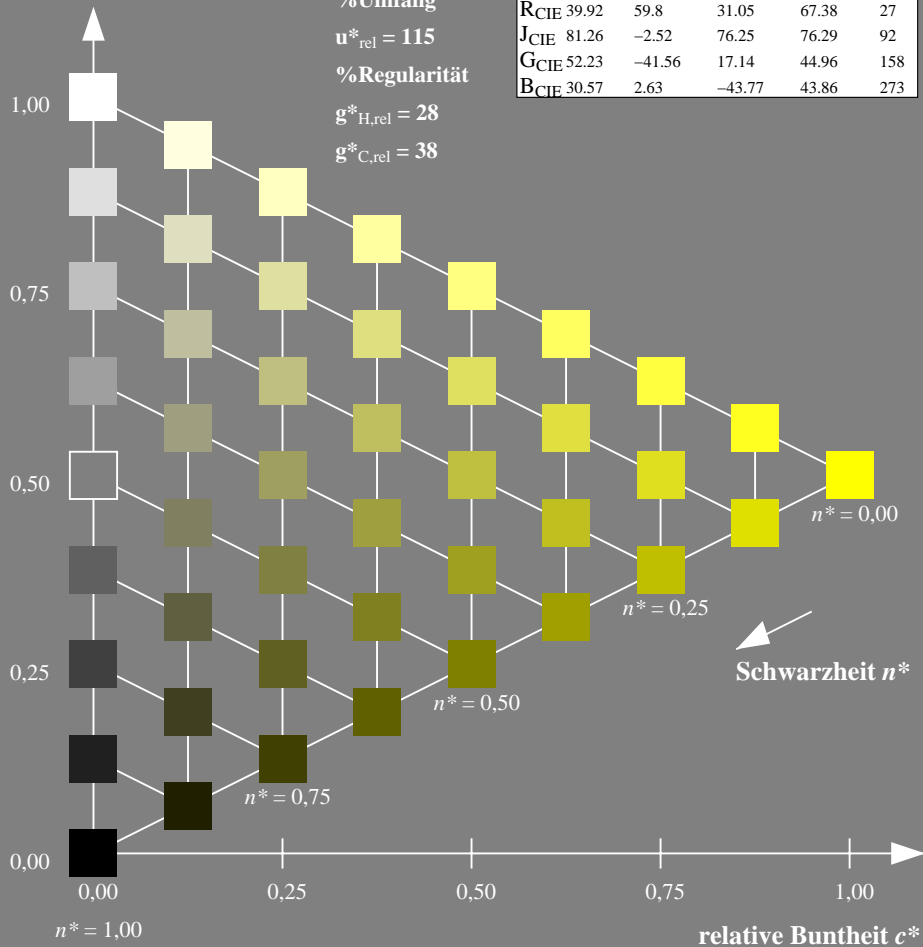
Dreiecks-Helligkeit  $t^*$



FRS06; adaptierte CIELAB-Daten

	$L^*=L^*_a$	$a^*_a$	$b^*_a$	$C^*_{ab,a}$	$h^*_{ab,a}$
O <sub>Ma</sub>	32.57	62.32	46.49	77.75	37
Y <sub>Ma</sub>	82.73	-3.16	113.99	114.03	92
L <sub>Ma</sub>	39.43	-61.79	45.84	76.95	143
C <sub>Ma</sub>	47.86	-26.79	-34.24	43.49	232
V <sub>Ma</sub>	10.16	55.12	-61.03	82.24	312
M <sub>Ma</sub>	34.5	80.68	-33.92	87.52	337
N <sub>Ma</sub>	6.25	0.0	0.0	0.0	0
W <sub>Ma</sub>	91.97	0.0	0.0	0.0	0
R <sub>CIE</sub>	39.92	59.8	31.05	67.38	27
J <sub>CIE</sub>	81.26	-2.52	76.25	76.29	92
G <sub>CIE</sub>	52.23	-41.56	17.14	44.96	158
B <sub>CIE</sub>	30.57	2.63	-43.77	43.86	273

%Umfang  
 $u^*_{rel} = 115$   
 %Regularität  
 $g^*_{H,rel} = 28$   
 $g^*_{C,rel} = 38$



Ausgabe: Farbmetrisches Drucker-Reflektiv-System FRS06

für Buntton  $h^* = lab^*h = 92/360 = 0.254$

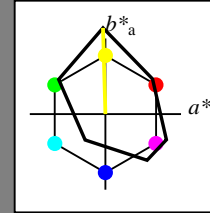
$lab^*ch$  und  $lab^*nch$

D65: Buntton Y

LCH\*Ma: 83 114 92

olv\*Ma: 1.0 1.0 0.0

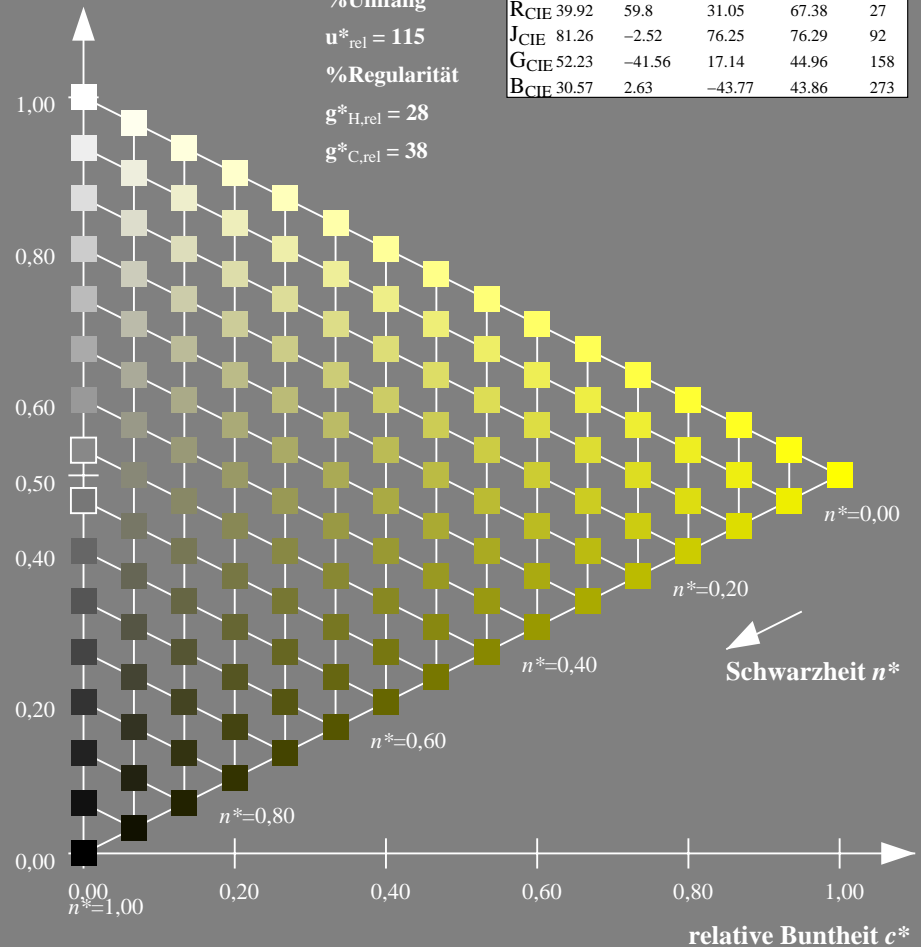
Dreiecks-Helligkeit  $t^*$



FRS06; adaptierte CIELAB-Daten

	$L^*=L^*_a$	$a^*_a$	$b^*_a$	$C^*_{ab,a}$	$h^*_{ab,a}$
O <sub>Ma</sub>	32.57	62.32	46.49	77.75	37
Y <sub>Ma</sub>	82.73	-3.16	113.99	114.03	92
L <sub>Ma</sub>	39.43	-61.79	45.84	76.95	143
C <sub>Ma</sub>	47.86	-26.79	-34.24	43.49	232
V <sub>Ma</sub>	10.16	55.12	-61.03	82.24	312
M <sub>Ma</sub>	34.5	80.68	-33.92	87.52	337
N <sub>Ma</sub>	6.25	0.0	0.0	0.0	0
W <sub>Ma</sub>	91.97	0.0	0.0	0.0	0
R <sub>CIE</sub>	39.92	59.8	31.05	67.38	27
J <sub>CIE</sub>	81.26	-2.52	76.25	76.29	92
G <sub>CIE</sub>	52.23	-41.56	17.14	44.96	158
B <sub>CIE</sub>	30.57	2.63	-43.77	43.86	273

%Umfang  
 $u^*_{rel} = 115$   
 %Regularität  
 $g^*_{H,rel} = 28$   
 $g^*_{C,rel} = 38$



XG670-7, 9stufige Reihen für konstanten CIELAB Buntton  $92/360 = 0.254$  (links)

16stufige Reihen für konstanten CIELAB Buntton  $92/360 = 0.254$  (rechts)

Eingabe: Farbmetrisches Drucker-Reflektiv-System FRS06

für Buntton  $h^* = lab^*h = 143/360 = 0.398$

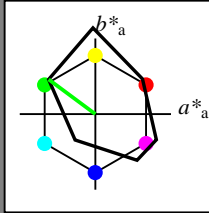
$lab^*ch$  und  $lab^*nch$

D65: Buntton L

LCH\*Ma: 39 77 143

olv\*Ma: 0.0 1.0 0.0

Dreiecks-Helligkeit  $t^*$



FRS06; adaptierte CIELAB-Daten

	$L^*=L^*_a$	$a^*_a$	$b^*_a$	$C^*_{ab,a}$	$h^*_{ab,a}$
O <sub>Ma</sub>	32.57	62.32	46.49	77.75	37
Y <sub>Ma</sub>	82.73	-3.16	113.99	114.03	92
L <sub>Ma</sub>	39.43	-61.79	45.84	76.95	143
C <sub>Ma</sub>	47.86	-26.79	-34.24	43.49	232
V <sub>Ma</sub>	10.16	55.12	-61.03	82.24	312
M <sub>Ma</sub>	34.5	80.68	-33.92	87.52	337
N <sub>Ma</sub>	6.25	0.0	0.0	0.0	0
W <sub>Ma</sub>	91.97	0.0	0.0	0.0	0
R <sub>CIE</sub>	39.92	59.8	31.05	67.38	27
J <sub>CIE</sub>	81.26	-2.52	76.25	76.29	92
G <sub>CIE</sub>	52.23	-41.56	17.14	44.96	158
B <sub>CIE</sub>	30.57	2.63	-43.77	43.86	273

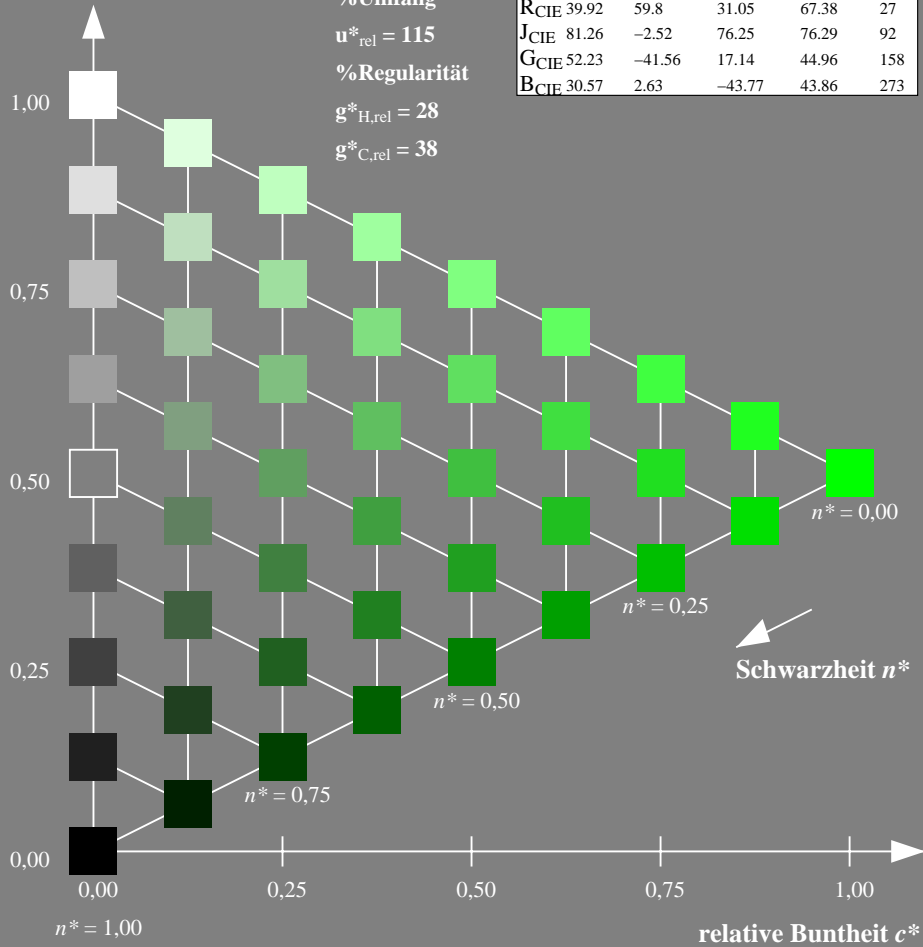
%Umfang

$u^*_{rel} = 115$

%Regularität

$g^*_{H,rel} = 28$

$g^*_{C,rel} = 38$



Ausgabe: Farbmetrisches Drucker-Reflektiv-System FRS06

für Buntton  $h^* = lab^*h = 143/360 = 0.398$

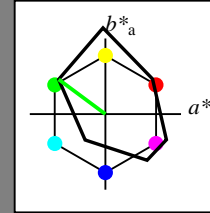
$lab^*ch$  und  $lab^*nch$

D65: Buntton L

LCH\*Ma: 39 77 143

olv\*Ma: 0.0 1.0 0.0

Dreiecks-Helligkeit  $t^*$



FRS06; adaptierte CIELAB-Daten

	$L^*=L^*_a$	$a^*_a$	$b^*_a$	$C^*_{ab,a}$	$h^*_{ab,a}$
O <sub>Ma</sub>	32.57	62.32	46.49	77.75	37
Y <sub>Ma</sub>	82.73	-3.16	113.99	114.03	92
L <sub>Ma</sub>	39.43	-61.79	45.84	76.95	143
C <sub>Ma</sub>	47.86	-26.79	-34.24	43.49	232
V <sub>Ma</sub>	10.16	55.12	-61.03	82.24	312
M <sub>Ma</sub>	34.5	80.68	-33.92	87.52	337
N <sub>Ma</sub>	6.25	0.0	0.0	0.0	0
W <sub>Ma</sub>	91.97	0.0	0.0	0.0	0
R <sub>CIE</sub>	39.92	59.8	31.05	67.38	27
J <sub>CIE</sub>	81.26	-2.52	76.25	76.29	92
G <sub>CIE</sub>	52.23	-41.56	17.14	44.96	158
B <sub>CIE</sub>	30.57	2.63	-43.77	43.86	273

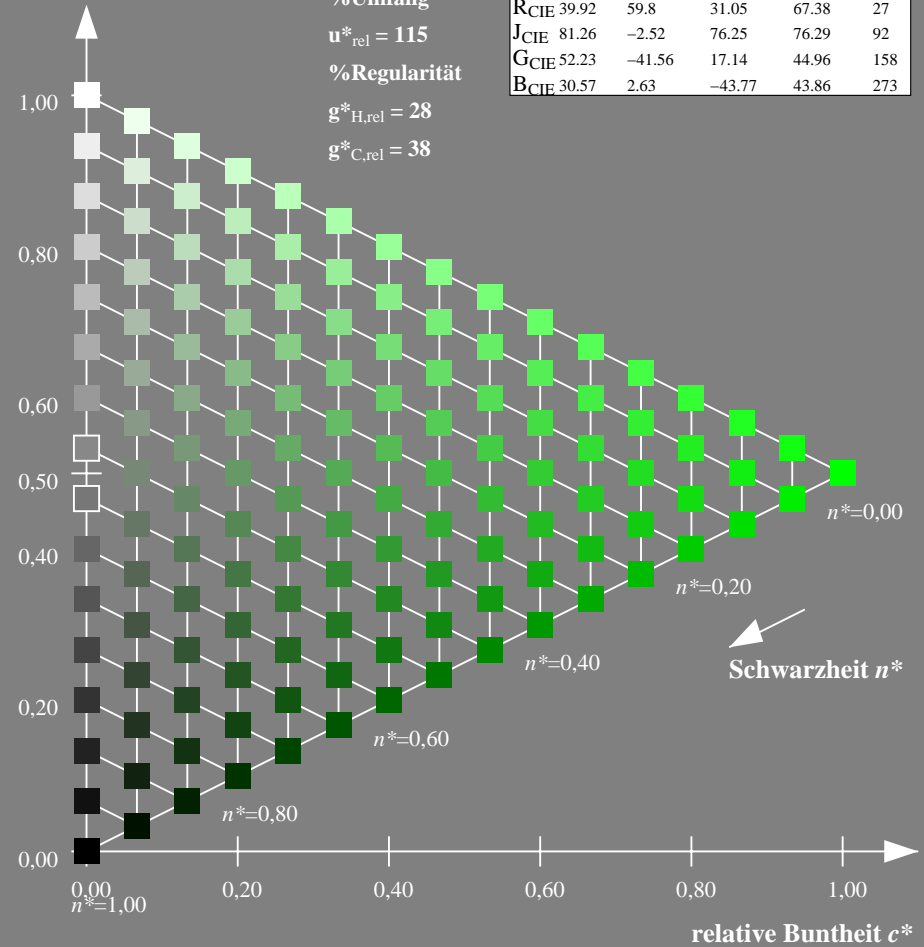
%Umfang

$u^*_{rel} = 115$

%Regularität

$g^*_{H,rel} = 28$

$g^*_{C,rel} = 38$



XG670-7, 9stufige Reihen für konstanten CIELAB Buntton  $143/360 = 0.398$  (links)

16stufige Reihen für konstanten CIELAB Buntton  $143/360 = 0.398$  (rechts)

Eingabe: Farbmetrisches Drucker-Reflektiv-System FRS06

für Buntton  $h^* = lab^*h = 232/360 = 0.644$

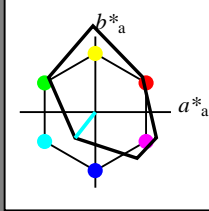
$lab^*ch$  und  $lab^*nch$

D65: Buntton C

LCH\*Ma: 48 43 232

olv\*Ma: 0.0 1.0 1.0

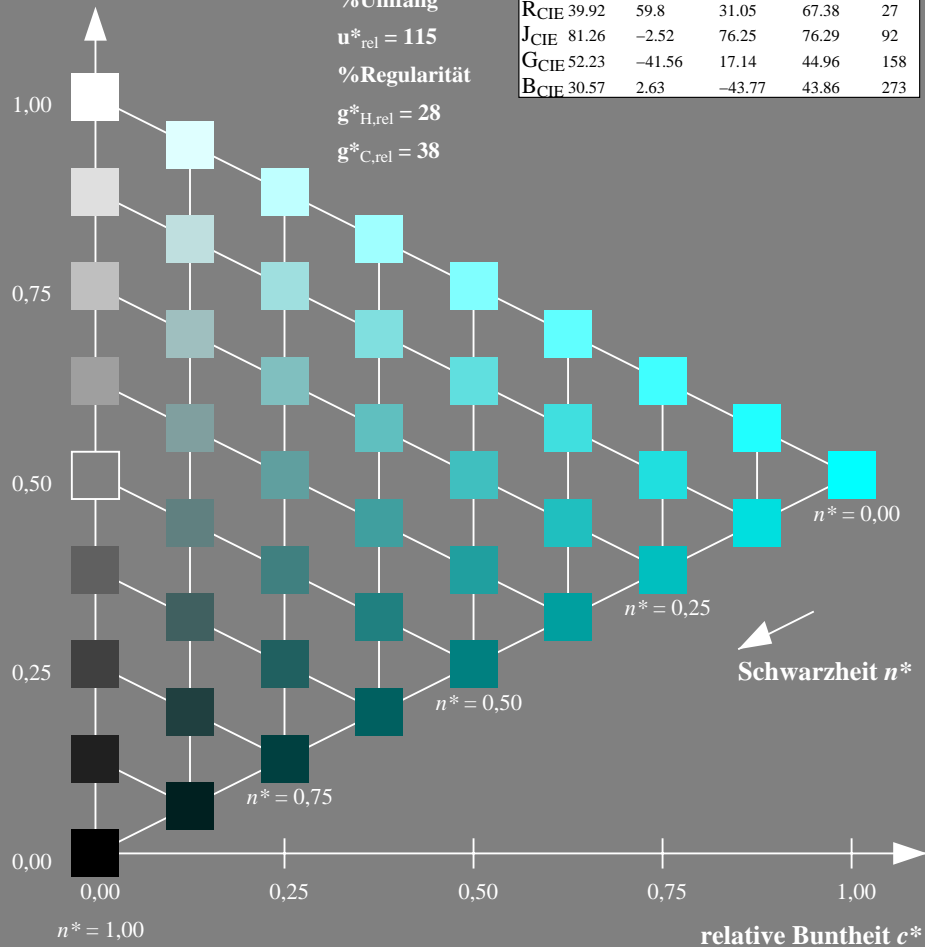
Dreiecks-Helligkeit  $t^*$



FRS06; adaptierte CIELAB-Daten

	$L^*=L^*_a$	$a^*_a$	$b^*_a$	$C^*_{ab,a}$	$h^*_{ab,a}$
O <sub>Ma</sub>	32.57	62.32	46.49	77.75	37
Y <sub>Ma</sub>	82.73	-3.16	113.99	114.03	92
L <sub>Ma</sub>	39.43	-61.79	45.84	76.95	143
C <sub>Ma</sub>	47.86	-26.79	-34.24	43.49	232
V <sub>Ma</sub>	10.16	55.12	-61.03	82.24	312
M <sub>Ma</sub>	34.5	80.68	-33.92	87.52	337
N <sub>Ma</sub>	6.25	0.0	0.0	0.0	0
W <sub>Ma</sub>	91.97	0.0	0.0	0.0	0
R <sub>CIE</sub>	39.92	59.8	31.05	67.38	27
J <sub>CIE</sub>	81.26	-2.52	76.25	76.29	92
G <sub>CIE</sub>	52.23	-41.56	17.14	44.96	158
B <sub>CIE</sub>	30.57	2.63	-43.77	43.86	273

%Umfang  
 $u^*_{rel} = 115$   
 %Regularität  
 $g^*_{H,rel} = 28$   
 $g^*_{C,rel} = 38$



Ausgabe: Farbmetrisches Drucker-Reflektiv-System FRS06

für Buntton  $h^* = lab^*h = 232/360 = 0.644$

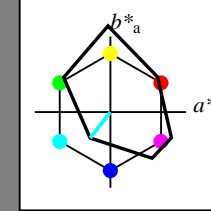
$lab^*ch$  und  $lab^*nch$

D65: Buntton C

LCH\*Ma: 48 43 232

olv\*Ma: 0.0 1.0 1.0

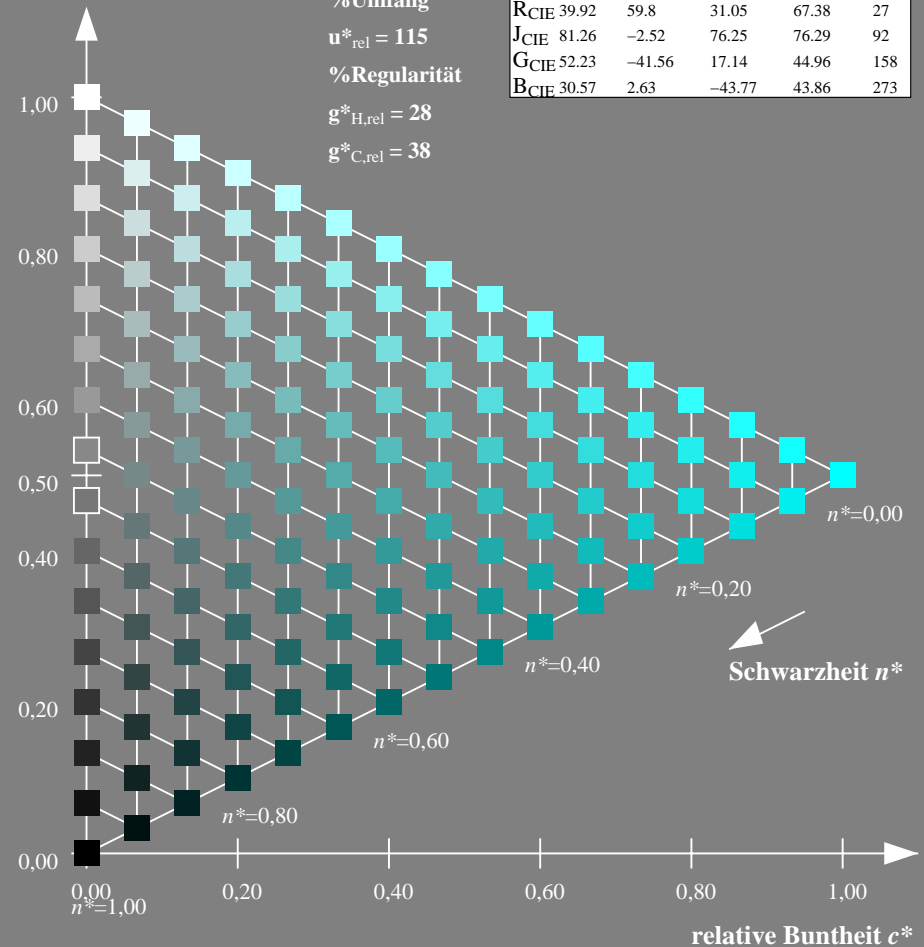
Dreiecks-Helligkeit  $t^*$



FRS06; adaptierte CIELAB-Daten

	$L^*=L^*_a$	$a^*_a$	$b^*_a$	$C^*_{ab,a}$	$h^*_{ab,a}$
O <sub>Ma</sub>	32.57	62.32	46.49	77.75	37
Y <sub>Ma</sub>	82.73	-3.16	113.99	114.03	92
L <sub>Ma</sub>	39.43	-61.79	45.84	76.95	143
C <sub>Ma</sub>	47.86	-26.79	-34.24	43.49	232
V <sub>Ma</sub>	10.16	55.12	-61.03	82.24	312
M <sub>Ma</sub>	34.5	80.68	-33.92	87.52	337
N <sub>Ma</sub>	6.25	0.0	0.0	0.0	0
W <sub>Ma</sub>	91.97	0.0	0.0	0.0	0
R <sub>CIE</sub>	39.92	59.8	31.05	67.38	27
J <sub>CIE</sub>	81.26	-2.52	76.25	76.29	92
G <sub>CIE</sub>	52.23	-41.56	17.14	44.96	158
B <sub>CIE</sub>	30.57	2.63	-43.77	43.86	273

%Umfang  
 $u^*_{rel} = 115$   
 %Regularität  
 $g^*_{H,rel} = 28$   
 $g^*_{C,rel} = 38$



XG670-7, 9stufige Reihen für konstanten CIELAB Buntton  $232/360 = 0.644$  (links)

16stufige Reihen für konstanten CIELAB Buntton  $232/360 = 0.644$  (rechts)

Eingabe: Farbmetrisches Drucker-Reflektiv-System FRS06

für Buntton  $h^* = lab^*h = 312/360 = 0.867$

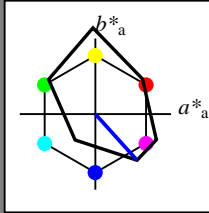
$lab^*ch$  und  $lab^*nch$

D65: Buntton V

LCH\*Ma: 10 82 312

olv\*Ma: 0.0 0.0 1.0

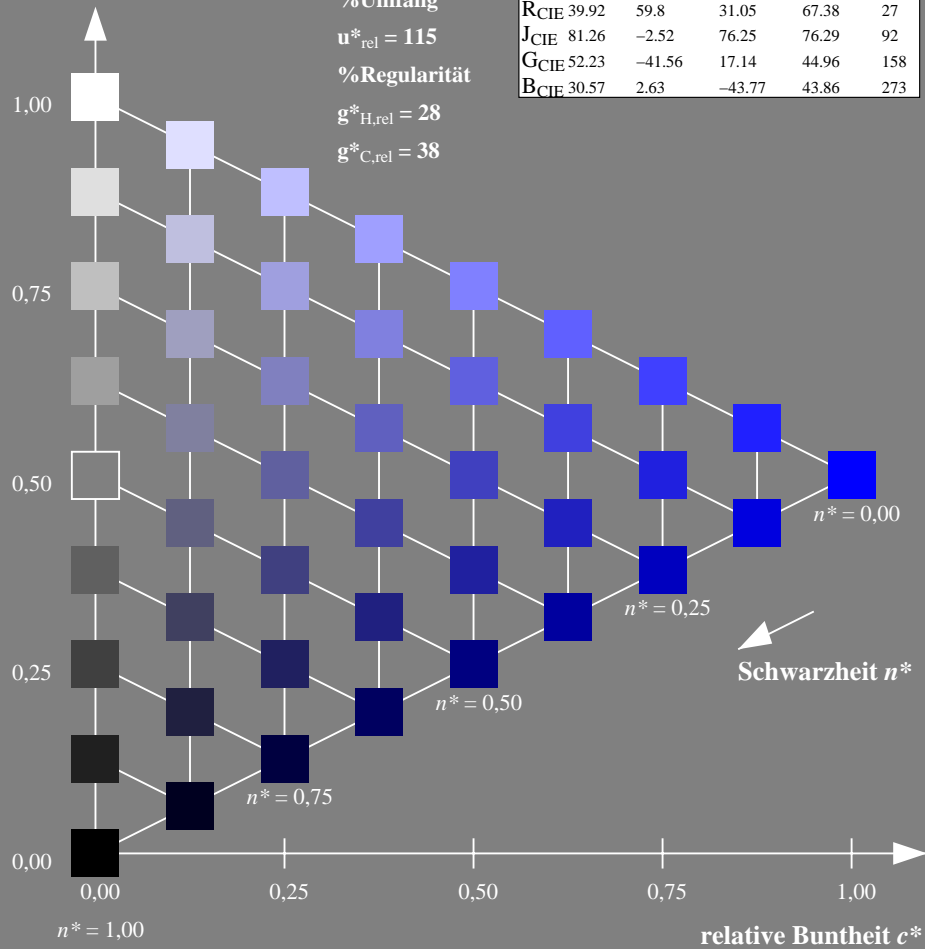
Dreiecks-Helligkeit  $t^*$



FRS06; adaptierte CIELAB-Daten

	$L^*=L^*_a$	$a^*_a$	$b^*_a$	$C^*_{ab,a}$	$h^*_{ab,a}$
O <sub>Ma</sub>	32.57	62.32	46.49	77.75	37
Y <sub>Ma</sub>	82.73	-3.16	113.99	114.03	92
L <sub>Ma</sub>	39.43	-61.79	45.84	76.95	143
C <sub>Ma</sub>	47.86	-26.79	-34.24	43.49	232
V <sub>Ma</sub>	10.16	55.12	-61.03	82.24	312
M <sub>Ma</sub>	34.5	80.68	-33.92	87.52	337
N <sub>Ma</sub>	6.25	0.0	0.0	0.0	0
W <sub>Ma</sub>	91.97	0.0	0.0	0.0	0
R <sub>CIE</sub>	39.92	59.8	31.05	67.38	27
J <sub>CIE</sub>	81.26	-2.52	76.25	76.29	92
G <sub>CIE</sub>	52.23	-41.56	17.14	44.96	158
B <sub>CIE</sub>	30.57	2.63	-43.77	43.86	273

%Umfang  
 $u^*_{rel} = 115$   
 %Regularität  
 $g^*_{H,rel} = 28$   
 $g^*_{C,rel} = 38$



Ausgabe: Farbmetrisches Drucker-Reflektiv-System FRS06

für Buntton  $h^* = lab^*h = 312/360 = 0.867$

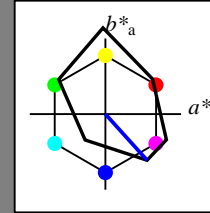
$lab^*ch$  und  $lab^*nch$

D65: Buntton V

LCH\*Ma: 10 82 312

olv\*Ma: 0.0 0.0 1.0

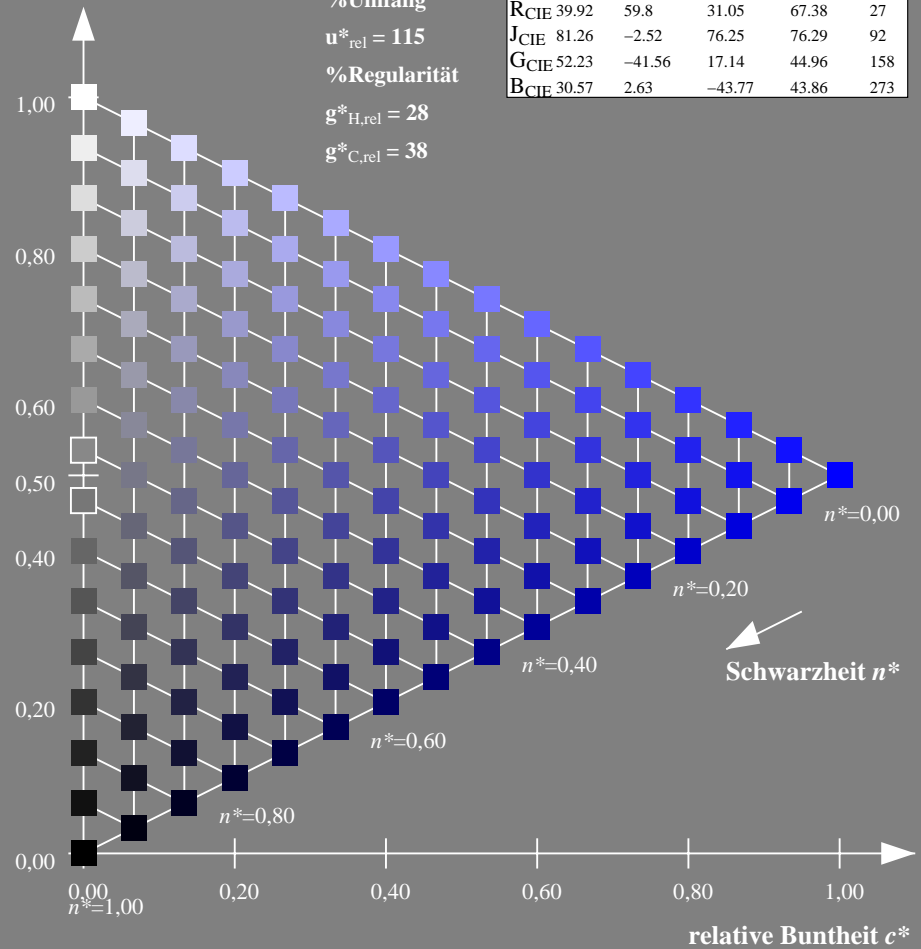
Dreiecks-Helligkeit  $t^*$



FRS06; adaptierte CIELAB-Daten

	$L^*=L^*_a$	$a^*_a$	$b^*_a$	$C^*_{ab,a}$	$h^*_{ab,a}$
O <sub>Ma</sub>	32.57	62.32	46.49	77.75	37
Y <sub>Ma</sub>	82.73	-3.16	113.99	114.03	92
L <sub>Ma</sub>	39.43	-61.79	45.84	76.95	143
C <sub>Ma</sub>	47.86	-26.79	-34.24	43.49	232
V <sub>Ma</sub>	10.16	55.12	-61.03	82.24	312
M <sub>Ma</sub>	34.5	80.68	-33.92	87.52	337
N <sub>Ma</sub>	6.25	0.0	0.0	0.0	0
W <sub>Ma</sub>	91.97	0.0	0.0	0.0	0
R <sub>CIE</sub>	39.92	59.8	31.05	67.38	27
J <sub>CIE</sub>	81.26	-2.52	76.25	76.29	92
G <sub>CIE</sub>	52.23	-41.56	17.14	44.96	158
B <sub>CIE</sub>	30.57	2.63	-43.77	43.86	273

%Umfang  
 $u^*_{rel} = 115$   
 %Regularität  
 $g^*_{H,rel} = 28$   
 $g^*_{C,rel} = 38$



XG670-7, 9stufige Reihen für konstanten CIELAB Buntton  $312/360 = 0.867$  (links)

16stufige Reihen für konstanten CIELAB Buntton  $312/360 = 0.867$  (rechts)

Eingabe: Farbmetrisches Drucker-Reflektiv-System FRS06

für Buntton  $h^* = lab^*h = 337/360 = 0.937$

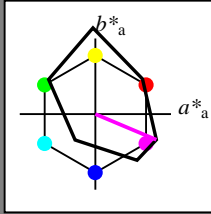
$lab^*ch$  und  $lab^*nch$

D65: Buntton M

LCH\*Ma: 35 88 337

olv\*Ma: 1.0 0.0 1.0

Dreiecks-Helligkeit  $t^*$



FRS06; adaptierte CIELAB-Daten

	$L^*=L^*_a$	$a^*_a$	$b^*_a$	$C^*_{ab,a}$	$h^*_{ab,a}$
O <sub>Ma</sub>	32.57	62.32	46.49	77.75	37
Y <sub>Ma</sub>	82.73	-3.16	113.99	114.03	92
L <sub>Ma</sub>	39.43	-61.79	45.84	76.95	143
C <sub>Ma</sub>	47.86	-26.79	-34.24	43.49	232
V <sub>Ma</sub>	10.16	55.12	-61.03	82.24	312
M <sub>Ma</sub>	34.5	80.68	-33.92	87.52	337
N <sub>Ma</sub>	6.25	0.0	0.0	0.0	0
W <sub>Ma</sub>	91.97	0.0	0.0	0.0	0
R <sub>CIE</sub>	39.92	59.8	31.05	67.38	27
J <sub>CIE</sub>	81.26	-2.52	76.25	76.29	92
G <sub>CIE</sub>	52.23	-41.56	17.14	44.96	158
B <sub>CIE</sub>	30.57	2.63	-43.77	43.86	273

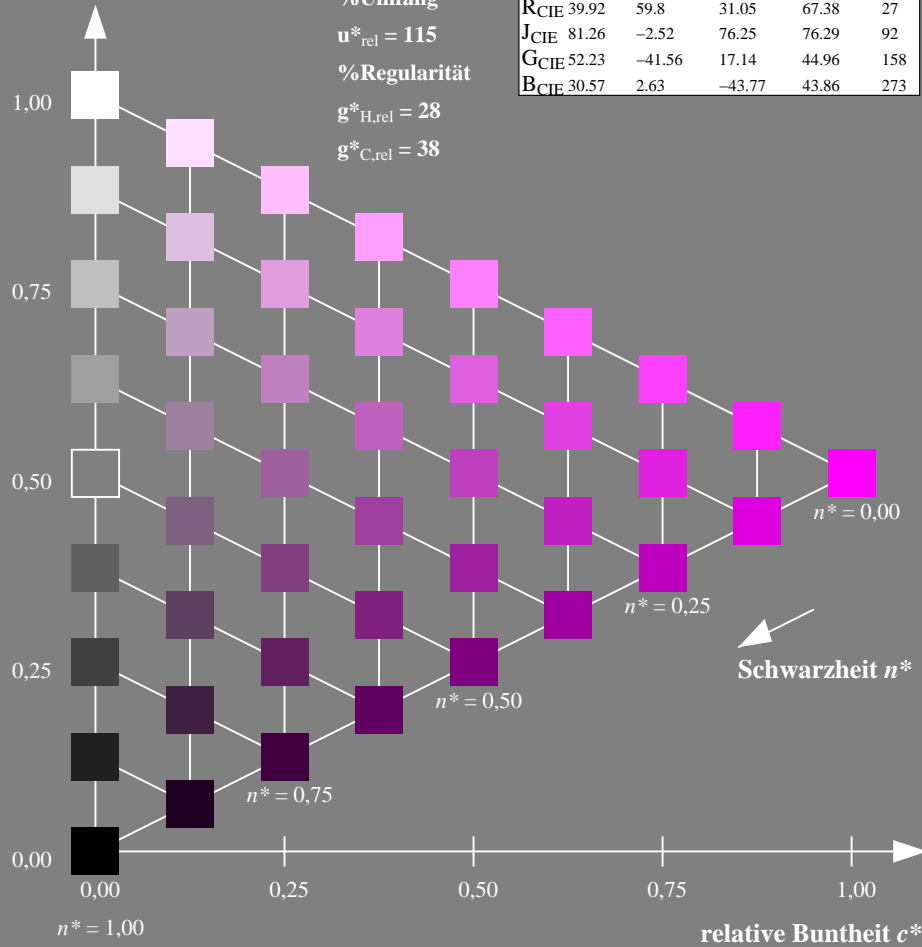
%Umfang

$u^*_{rel} = 115$

%Regularität

$g^*_{H,rel} = 28$

$g^*_{C,rel} = 38$



Ausgabe: Farbmetrisches Drucker-Reflektiv-System FRS06

für Buntton  $h^* = lab^*h = 337/360 = 0.937$

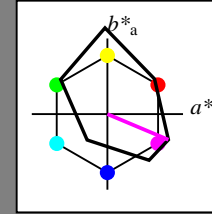
$lab^*ch$  und  $lab^*nch$

D65: Buntton M

LCH\*Ma: 35 88 337

olv\*Ma: 1.0 0.0 1.0

Dreiecks-Helligkeit  $t^*$



FRS06; adaptierte CIELAB-Daten

	$L^*=L^*_a$	$a^*_a$	$b^*_a$	$C^*_{ab,a}$	$h^*_{ab,a}$
O <sub>Ma</sub>	32.57	62.32	46.49	77.75	37
Y <sub>Ma</sub>	82.73	-3.16	113.99	114.03	92
L <sub>Ma</sub>	39.43	-61.79	45.84	76.95	143
C <sub>Ma</sub>	47.86	-26.79	-34.24	43.49	232
V <sub>Ma</sub>	10.16	55.12	-61.03	82.24	312
M <sub>Ma</sub>	34.5	80.68	-33.92	87.52	337
N <sub>Ma</sub>	6.25	0.0	0.0	0.0	0
W <sub>Ma</sub>	91.97	0.0	0.0	0.0	0
R <sub>CIE</sub>	39.92	59.8	31.05	67.38	27
J <sub>CIE</sub>	81.26	-2.52	76.25	76.29	92
G <sub>CIE</sub>	52.23	-41.56	17.14	44.96	158
B <sub>CIE</sub>	30.57	2.63	-43.77	43.86	273

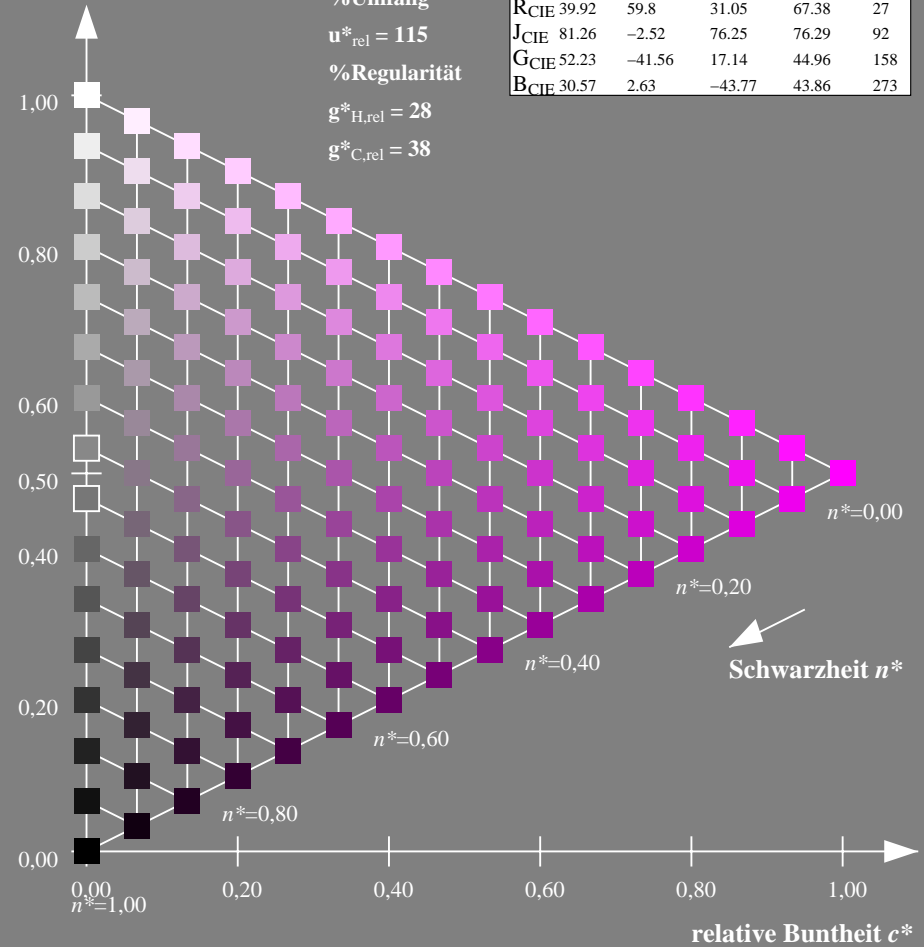
%Umfang

$u^*_{rel} = 115$

%Regularität

$g^*_{H,rel} = 28$

$g^*_{C,rel} = 38$



XG670-7, 9stufige Reihen für konstanten CIELAB Buntton  $337/360 = 0.937$  (links)

16stufige Reihen für konstanten CIELAB Buntton  $337/360 = 0.937$  (rechts)

Eingabe: Farbmetrisches Drucker-Reflektiv-System FRS06

für Buntton  $h^* = lab^*h = 27/360 = 0.076$

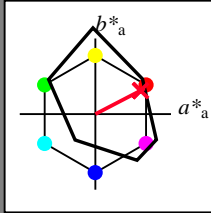
$lab^*ch$  und  $lab^*nch$

D65: Buntton R

LCH\*Ma: 33 73 27

olv\*Ma: 1.0 0.0 0.16

Dreiecks-Helligkeit  $t^*$



FRS06; adaptierte CIELAB-Daten

	$L^*=L^*_a$	$a^*_a$	$b^*_a$	$C^*_{ab,a}$	$h^*_{ab,a}$
O <sub>Ma</sub>	32.57	62.32	46.49	77.75	37
Y <sub>Ma</sub>	82.73	-3.16	113.99	114.03	92
L <sub>Ma</sub>	39.43	-61.79	45.84	76.95	143
C <sub>Ma</sub>	47.86	-26.79	-34.24	43.49	232
V <sub>Ma</sub>	10.16	55.12	-61.03	82.24	312
M <sub>Ma</sub>	34.5	80.68	-33.92	87.52	337
N <sub>Ma</sub>	6.25	0.0	0.0	0.0	0
W <sub>Ma</sub>	91.97	0.0	0.0	0.0	0
R <sub>CIE</sub>	39.92	59.8	31.05	67.38	27
J <sub>CIE</sub>	81.26	-2.52	76.25	76.29	92
G <sub>CIE</sub>	52.23	-41.56	17.14	44.96	158
B <sub>CIE</sub>	30.57	2.63	-43.77	43.86	273

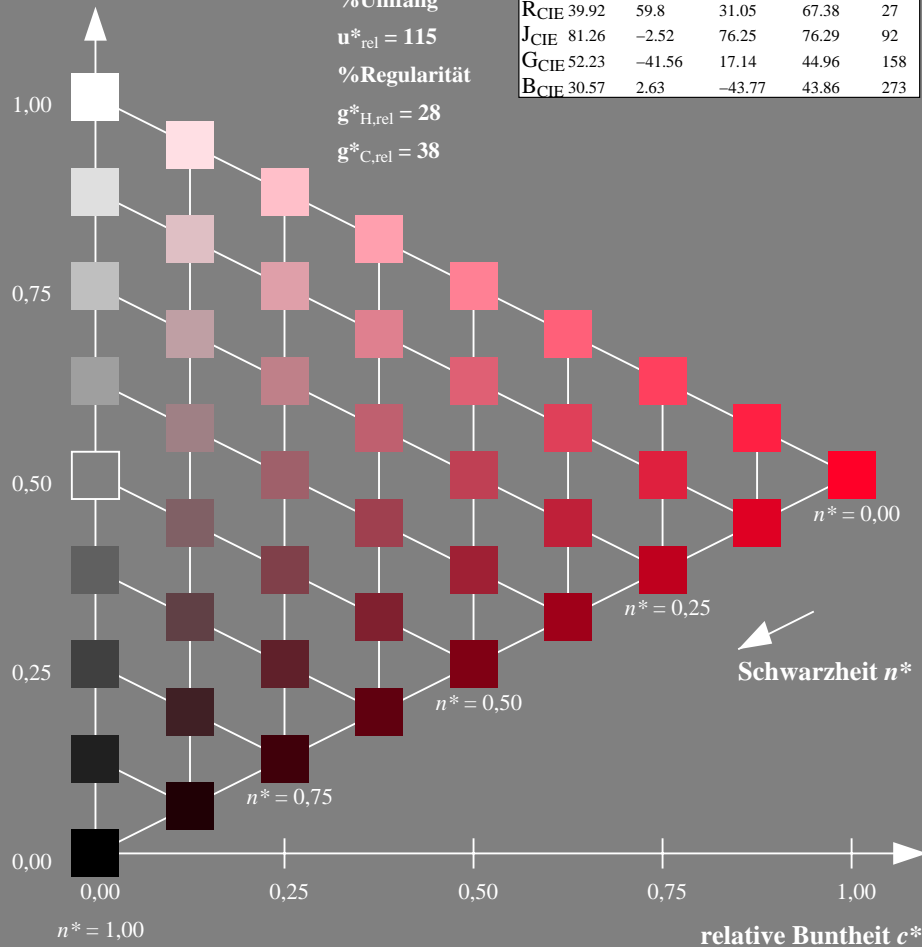
%Umfang

$u^*_{rel} = 115$

%Regularität

$g^*_{H,rel} = 28$

$g^*_{C,rel} = 38$



Ausgabe: Farbmetrisches Drucker-Reflektiv-System FRS06

für Buntton  $h^* = lab^*h = 27/360 = 0.076$

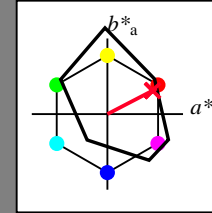
$lab^*ch$  und  $lab^*nch$

D65: Buntton R

LCH\*Ma: 33 73 27

olv\*Ma: 1.0 0.0 0.16

Dreiecks-Helligkeit  $t^*$



FRS06; adaptierte CIELAB-Daten

	$L^*=L^*_a$	$a^*_a$	$b^*_a$	$C^*_{ab,a}$	$h^*_{ab,a}$
O <sub>Ma</sub>	32.57	62.32	46.49	77.75	37
Y <sub>Ma</sub>	82.73	-3.16	113.99	114.03	92
L <sub>Ma</sub>	39.43	-61.79	45.84	76.95	143
C <sub>Ma</sub>	47.86	-26.79	-34.24	43.49	232
V <sub>Ma</sub>	10.16	55.12	-61.03	82.24	312
M <sub>Ma</sub>	34.5	80.68	-33.92	87.52	337
N <sub>Ma</sub>	6.25	0.0	0.0	0.0	0
W <sub>Ma</sub>	91.97	0.0	0.0	0.0	0
R <sub>CIE</sub>	39.92	59.8	31.05	67.38	27
J <sub>CIE</sub>	81.26	-2.52	76.25	76.29	92
G <sub>CIE</sub>	52.23	-41.56	17.14	44.96	158
B <sub>CIE</sub>	30.57	2.63	-43.77	43.86	273

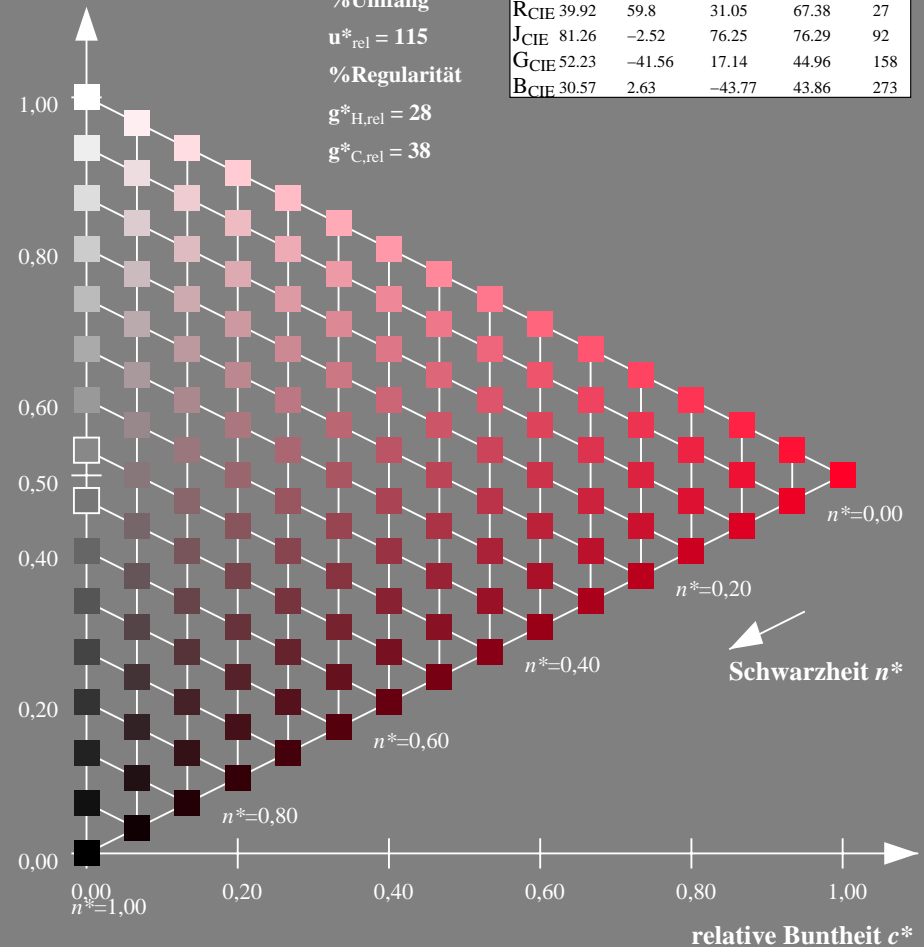
%Umfang

$u^*_{rel} = 115$

%Regularität

$g^*_{H,rel} = 28$

$g^*_{C,rel} = 38$



XG670-7, 9stufige Reihen für konstanten CIELAB Buntton 27/360 = 0.076 (links)

16stufige Reihen für konstanten CIELAB Buntton 27/360 = 0.076 (rechts)

Eingabe: Farbmetrisches Drucker-Reflektiv-System FRS06

für Buntton  $h^* = lab^*h = 92/360 = 0.255$

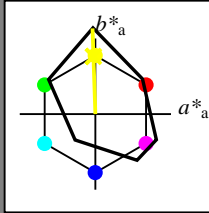
$lab^*ch$  und  $lab^*nch$

D65: Buntton J

LCH\*Ma: 82 113 92

olv\*Ma: 0.99 1.0 0.0

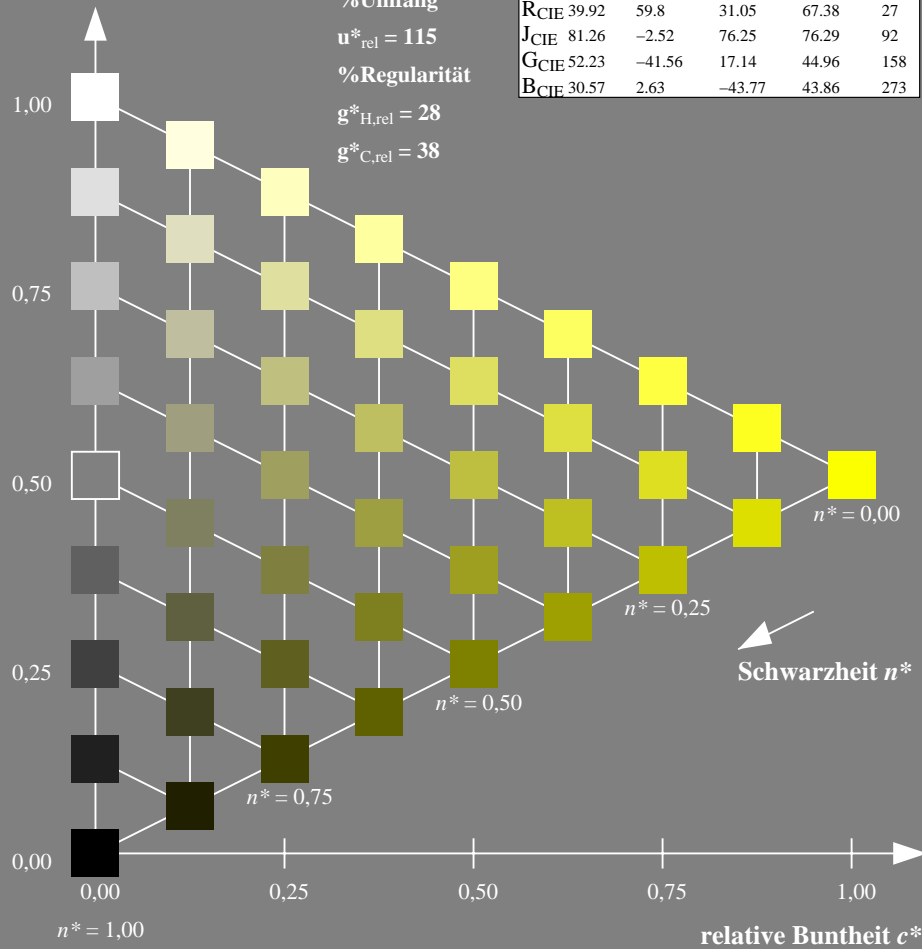
Dreiecks-Helligkeit  $t^*$



FRS06; adaptierte CIELAB-Daten

	$L^*=L^*_a$	$a^*_a$	$b^*_a$	$C^*_{ab,a}$	$h^*_{ab,a}$
O <sub>Ma</sub>	32.57	62.32	46.49	77.75	37
Y <sub>Ma</sub>	82.73	-3.16	113.99	114.03	92
L <sub>Ma</sub>	39.43	-61.79	45.84	76.95	143
C <sub>Ma</sub>	47.86	-26.79	-34.24	43.49	232
V <sub>Ma</sub>	10.16	55.12	-61.03	82.24	312
M <sub>Ma</sub>	34.5	80.68	-33.92	87.52	337
N <sub>Ma</sub>	6.25	0.0	0.0	0.0	0
W <sub>Ma</sub>	91.97	0.0	0.0	0.0	0
R <sub>CIE</sub>	39.92	59.8	31.05	67.38	27
J <sub>CIE</sub>	81.26	-2.52	76.25	76.29	92
G <sub>CIE</sub>	52.23	-41.56	17.14	44.96	158
B <sub>CIE</sub>	30.57	2.63	-43.77	43.86	273

%Umfang  
 $u^*_{rel} = 115$   
 %Regularität  
 $g^*_{H,rel} = 28$   
 $g^*_{C,rel} = 38$



Ausgabe: Farbmetrisches Drucker-Reflektiv-System FRS06

für Buntton  $h^* = lab^*h = 92/360 = 0.255$

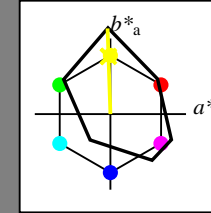
$lab^*ch$  und  $lab^*nch$

D65: Buntton J

LCH\*Ma: 82 113 92

olv\*Ma: 0.99 1.0 0.0

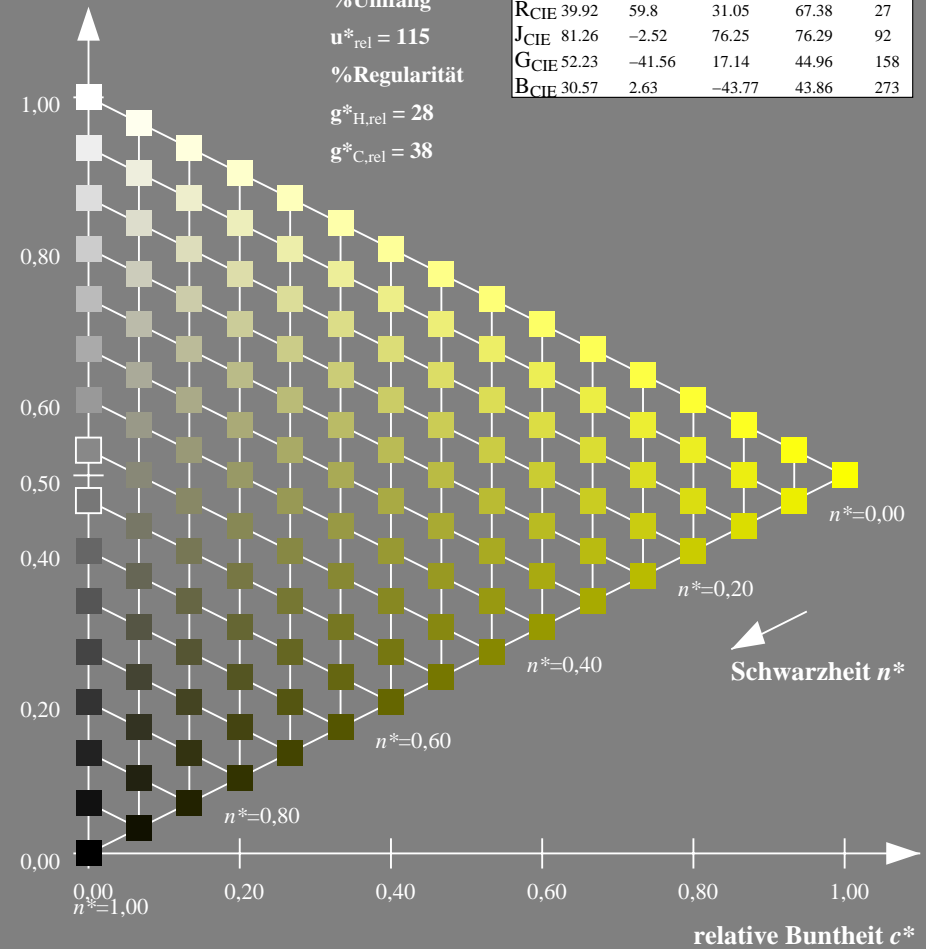
Dreiecks-Helligkeit  $t^*$



FRS06; adaptierte CIELAB-Daten

	$L^*=L^*_a$	$a^*_a$	$b^*_a$	$C^*_{ab,a}$	$h^*_{ab,a}$
O <sub>Ma</sub>	32.57	62.32	46.49	77.75	37
Y <sub>Ma</sub>	82.73	-3.16	113.99	114.03	92
L <sub>Ma</sub>	39.43	-61.79	45.84	76.95	143
C <sub>Ma</sub>	47.86	-26.79	-34.24	43.49	232
V <sub>Ma</sub>	10.16	55.12	-61.03	82.24	312
M <sub>Ma</sub>	34.5	80.68	-33.92	87.52	337
N <sub>Ma</sub>	6.25	0.0	0.0	0.0	0
W <sub>Ma</sub>	91.97	0.0	0.0	0.0	0
R <sub>CIE</sub>	39.92	59.8	31.05	67.38	27
J <sub>CIE</sub>	81.26	-2.52	76.25	76.29	92
G <sub>CIE</sub>	52.23	-41.56	17.14	44.96	158
B <sub>CIE</sub>	30.57	2.63	-43.77	43.86	273

%Umfang  
 $u^*_{rel} = 115$   
 %Regularität  
 $g^*_{H,rel} = 28$   
 $g^*_{C,rel} = 38$



XG670-7, 9stufige Reihen für konstanten CIELAB Buntton  $92/360 = 0.255$  (links)

16stufige Reihen für konstanten CIELAB Buntton  $92/360 = 0.255$  (rechts)



Eingabe: Farbmetrisches Drucker-Reflektiv-System FRS06

für Buntton  $h^* = lab^*h = 158/360 = 0.438$

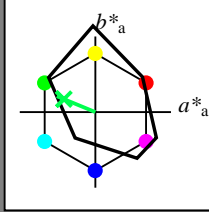
$lab^*ch$  und  $lab^*nch$

D65: Buntton G

LCH\*Ma: 42 55 158

olv\*Ma: 0.0 1.0 0.31

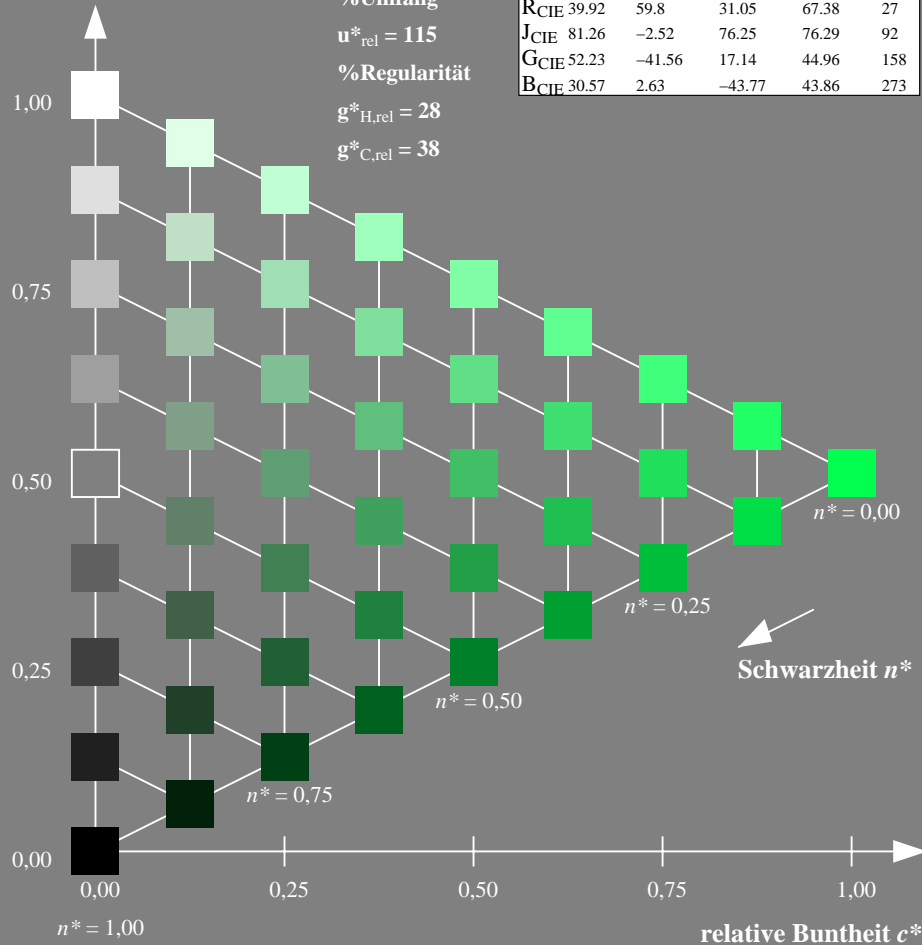
Dreiecks-Helligkeit  $t^*$



FRS06; adaptierte CIELAB-Daten

	$L^*=L^*_a$	$a^*_a$	$b^*_a$	$C^*_{ab,a}$	$h^*_{ab,a}$
$O_{Ma}$	32.57	62.32	46.49	77.75	37
$Y_{Ma}$	82.73	-3.16	113.99	114.03	92
$L_{Ma}$	39.43	-61.79	45.84	76.95	143
$C_{Ma}$	47.86	-26.79	-34.24	43.49	232
$V_{Ma}$	10.16	55.12	-61.03	82.24	312
$M_{Ma}$	34.5	80.68	-33.92	87.52	337
$N_{Ma}$	6.25	0.0	0.0	0.0	0
$W_{Ma}$	91.97	0.0	0.0	0.0	0
$R_{CIE}$	39.92	59.8	31.05	67.38	27
$J_{CIE}$	81.26	-2.52	76.25	76.29	92
$G_{CIE}$	52.23	-41.56	17.14	44.96	158
$B_{CIE}$	30.57	2.63	-43.77	43.86	273

%Umfang  
 $u^*_{rel} = 115$   
 %Regularität  
 $g^*_{H,rel} = 28$   
 $g^*_{C,rel} = 38$



Ausgabe: Farbmetrisches Drucker-Reflektiv-System FRS06

für Buntton  $h^* = lab^*h = 158/360 = 0.438$

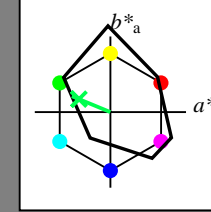
$lab^*ch$  und  $lab^*nch$

D65: Buntton G

LCH\*Ma: 42 55 158

olv\*Ma: 0.0 1.0 0.31

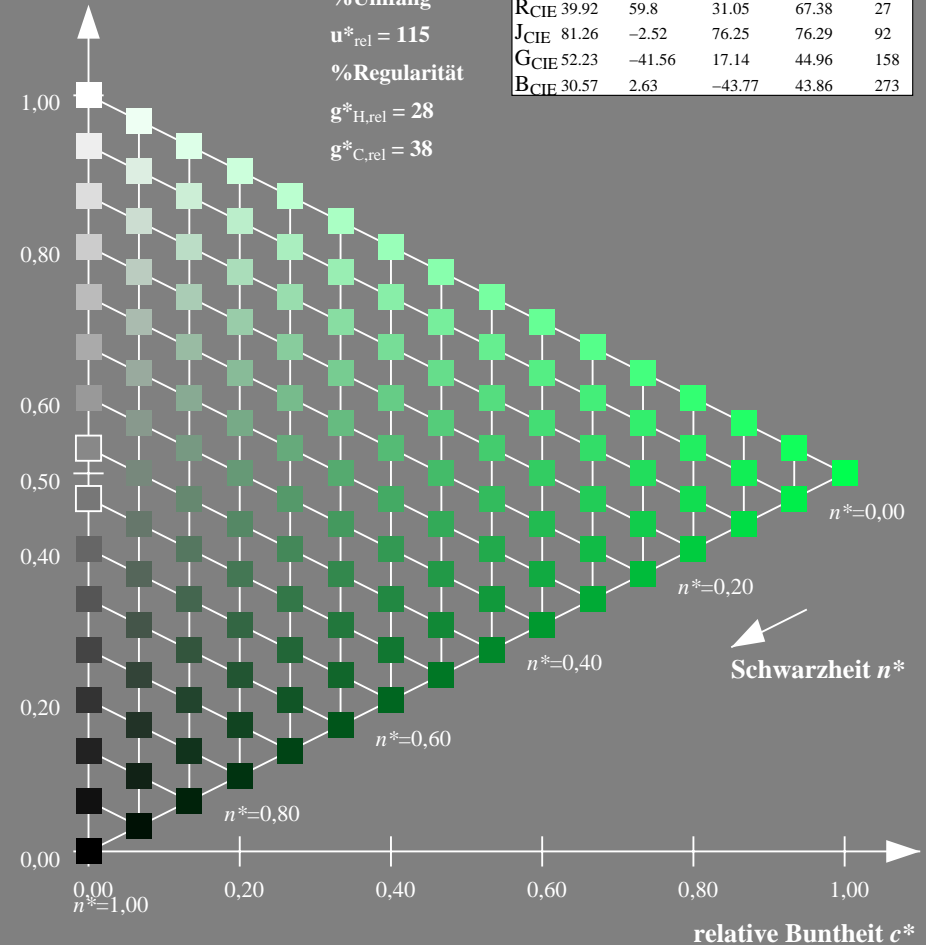
Dreiecks-Helligkeit  $t^*$



FRS06; adaptierte CIELAB-Daten

	$L^*=L^*_a$	$a^*_a$	$b^*_a$	$C^*_{ab,a}$	$h^*_{ab,a}$
$O_{Ma}$	32.57	62.32	46.49	77.75	37
$Y_{Ma}$	82.73	-3.16	113.99	114.03	92
$L_{Ma}$	39.43	-61.79	45.84	76.95	143
$C_{Ma}$	47.86	-26.79	-34.24	43.49	232
$V_{Ma}$	10.16	55.12	-61.03	82.24	312
$M_{Ma}$	34.5	80.68	-33.92	87.52	337
$N_{Ma}$	6.25	0.0	0.0	0.0	0
$W_{Ma}$	91.97	0.0	0.0	0.0	0
$R_{CIE}$	39.92	59.8	31.05	67.38	27
$J_{CIE}$	81.26	-2.52	76.25	76.29	92
$G_{CIE}$	52.23	-41.56	17.14	44.96	158
$B_{CIE}$	30.57	2.63	-43.77	43.86	273

%Umfang  
 $u^*_{rel} = 115$   
 %Regularität  
 $g^*_{H,rel} = 28$   
 $g^*_{C,rel} = 38$



XG670-7, 9stufige Reihen für konstanten CIELAB Buntton  $158/360 = 0.438$  (links)

16stufige Reihen für konstanten CIELAB Buntton  $158/360 = 0.438$  (rechts)

Eingabe: Farbmetrisches Drucker-Reflektiv-System FRS06

für Buntton  $h^* = lab^*h = 273/360 = 0.76$

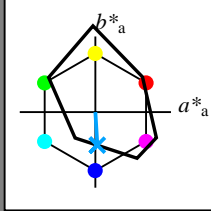
$lab^*ch$  und  $lab^*nch$

D65: Buntton B

LCH\*Ma: 34 44 273

olv\*Ma: 0.0 0.64 1.0

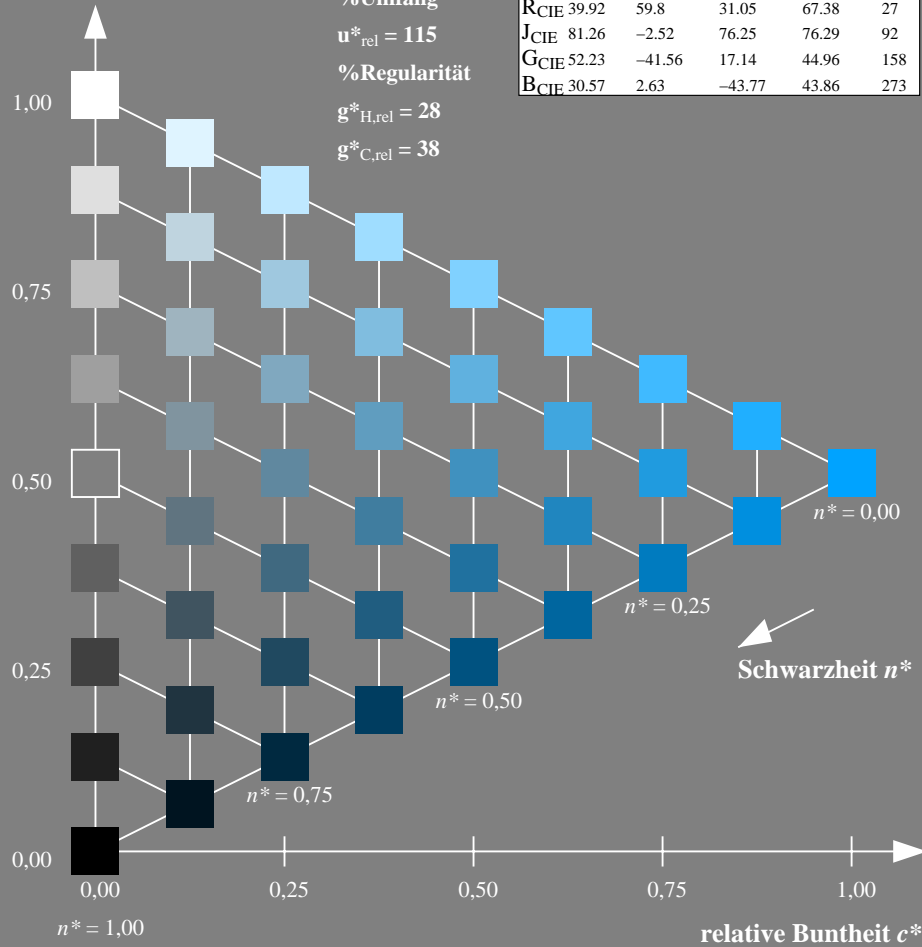
Dreiecks-Helligkeit  $t^*$



FRS06; adaptierte CIELAB-Daten

	$L^*=L^*_a$	$a^*_a$	$b^*_a$	$C^*_{ab,a}$	$h^*_{ab,a}$
O <sub>Ma</sub>	32.57	62.32	46.49	77.75	37
Y <sub>Ma</sub>	82.73	-3.16	113.99	114.03	92
L <sub>Ma</sub>	39.43	-61.79	45.84	76.95	143
C <sub>Ma</sub>	47.86	-26.79	-34.24	43.49	232
V <sub>Ma</sub>	10.16	55.12	-61.03	82.24	312
M <sub>Ma</sub>	34.5	80.68	-33.92	87.52	337
N <sub>Ma</sub>	6.25	0.0	0.0	0.0	0
W <sub>Ma</sub>	91.97	0.0	0.0	0.0	0
R <sub>CIE</sub>	39.92	59.8	31.05	67.38	27
J <sub>CIE</sub>	81.26	-2.52	76.25	76.29	92
G <sub>CIE</sub>	52.23	-41.56	17.14	44.96	158
B <sub>CIE</sub>	30.57	2.63	-43.77	43.86	273

%Umfang  
 $u^*_{rel} = 115$   
 %Regularität  
 $g^*_{H,rel} = 28$   
 $g^*_{C,rel} = 38$



Ausgabe: Farbmetrisches Drucker-Reflektiv-System FRS06

für Buntton  $h^* = lab^*h = 273/360 = 0.76$

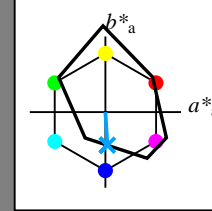
$lab^*ch$  und  $lab^*nch$

D65: Buntton B

LCH\*Ma: 34 44 273

olv\*Ma: 0.0 0.64 1.0

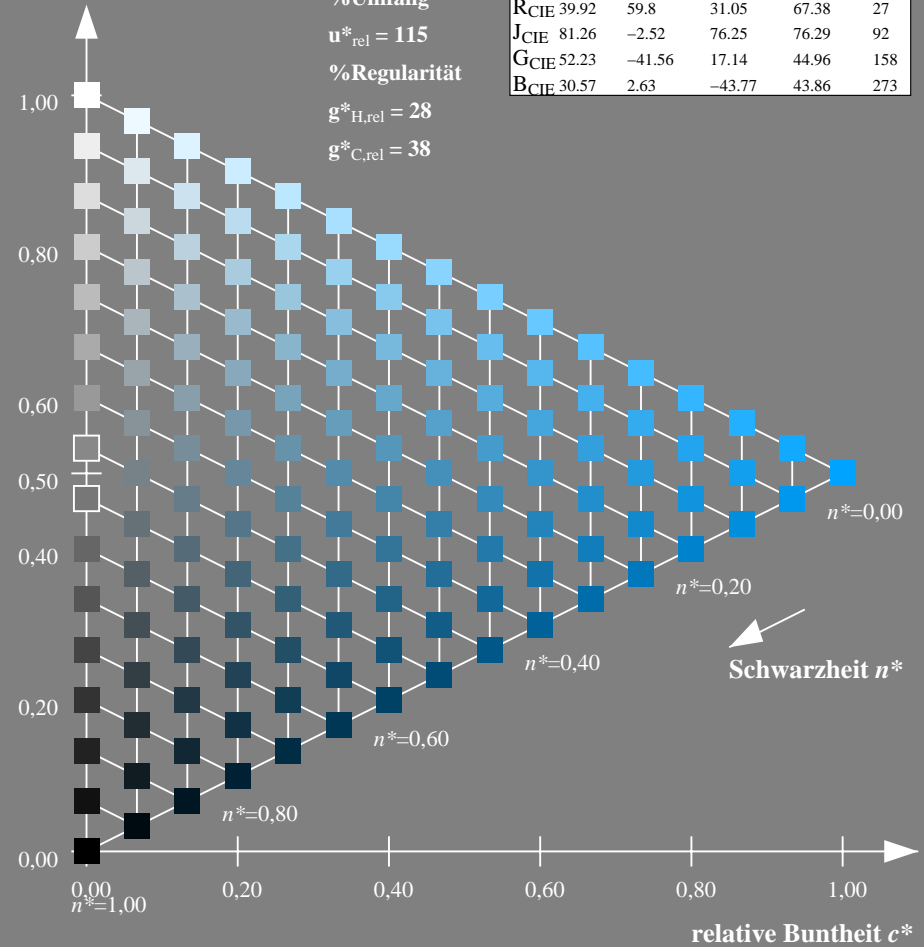
Dreiecks-Helligkeit  $t^*$



FRS06; adaptierte CIELAB-Daten

	$L^*=L^*_a$	$a^*_a$	$b^*_a$	$C^*_{ab,a}$	$h^*_{ab,a}$
O <sub>Ma</sub>	32.57	62.32	46.49	77.75	37
Y <sub>Ma</sub>	82.73	-3.16	113.99	114.03	92
L <sub>Ma</sub>	39.43	-61.79	45.84	76.95	143
C <sub>Ma</sub>	47.86	-26.79	-34.24	43.49	232
V <sub>Ma</sub>	10.16	55.12	-61.03	82.24	312
M <sub>Ma</sub>	34.5	80.68	-33.92	87.52	337
N <sub>Ma</sub>	6.25	0.0	0.0	0.0	0
W <sub>Ma</sub>	91.97	0.0	0.0	0.0	0
R <sub>CIE</sub>	39.92	59.8	31.05	67.38	27
J <sub>CIE</sub>	81.26	-2.52	76.25	76.29	92
G <sub>CIE</sub>	52.23	-41.56	17.14	44.96	158
B <sub>CIE</sub>	30.57	2.63	-43.77	43.86	273

%Umfang  
 $u^*_{rel} = 115$   
 %Regularität  
 $g^*_{H,rel} = 28$   
 $g^*_{C,rel} = 38$



XG670-7, 9stufige Reihen für konstanten CIELAB Buntton 273/360 = 0.76 (links)

16stufige Reihen für konstanten CIELAB Buntton 273/360 = 0.76 (rechts)